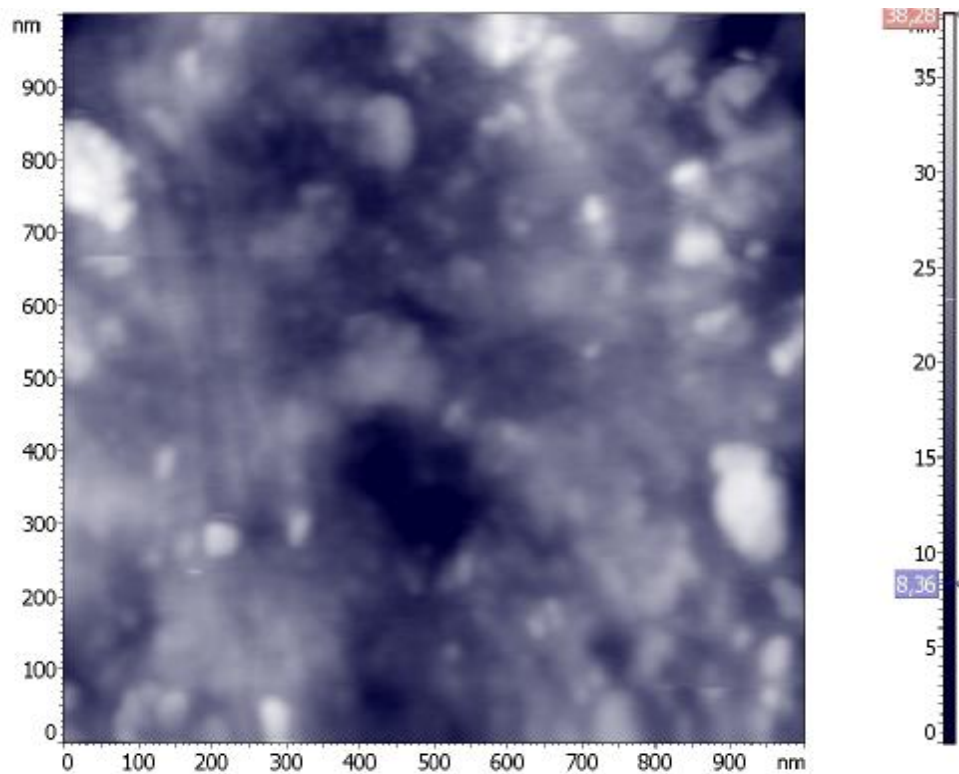
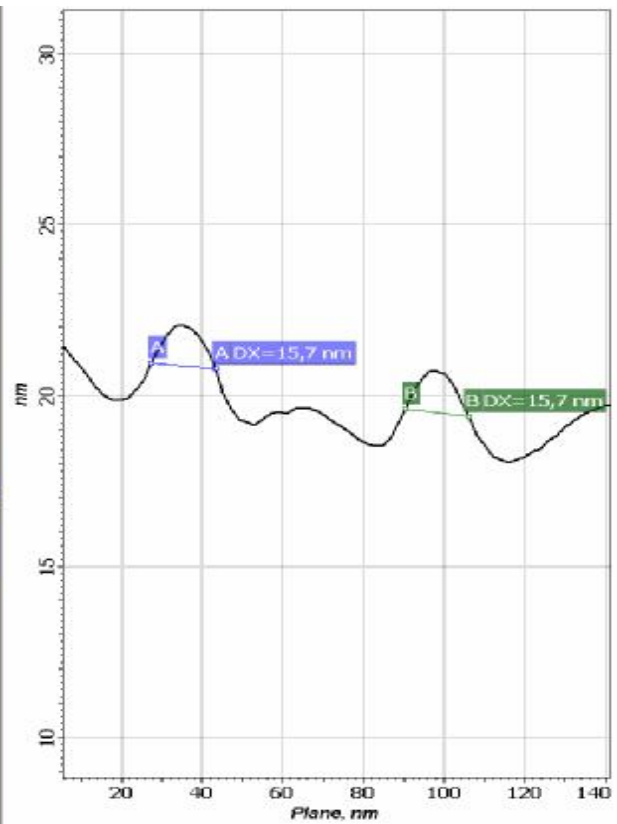
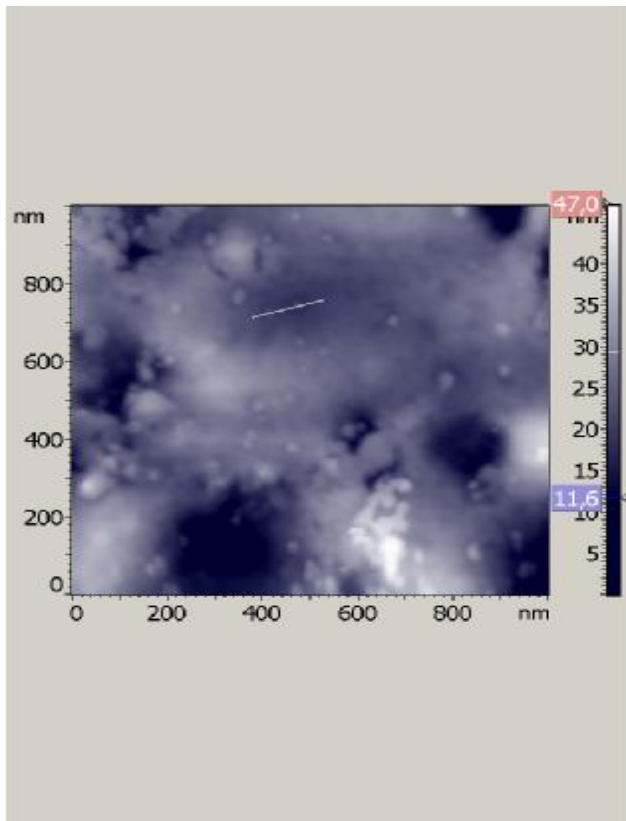
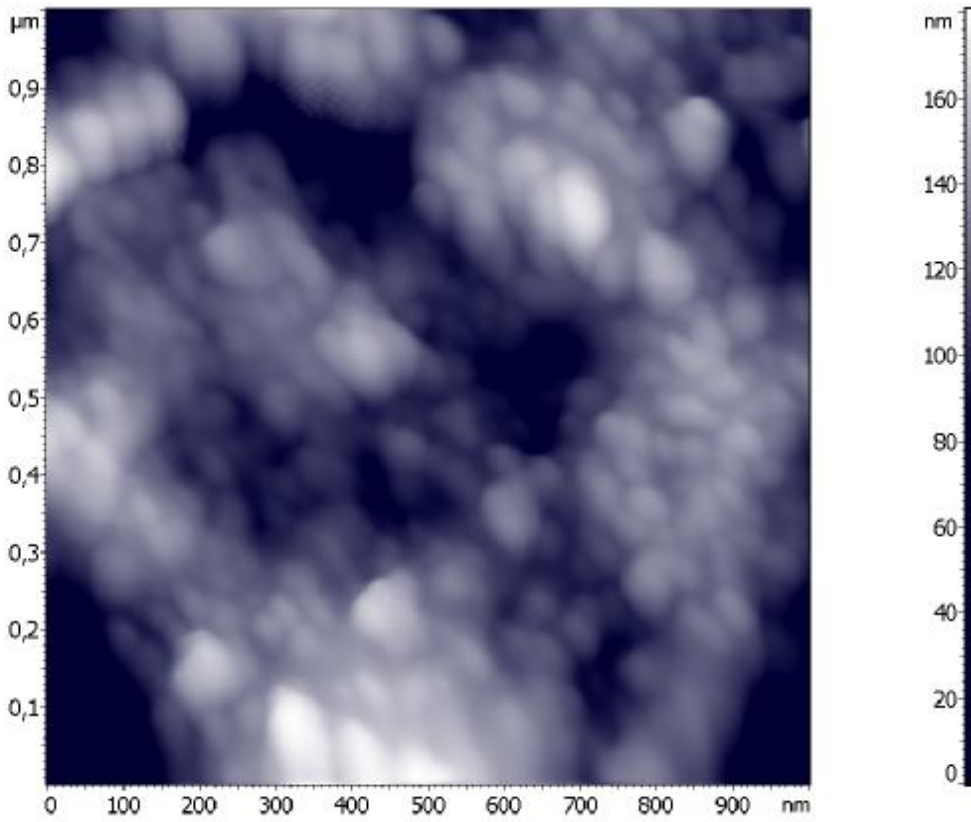
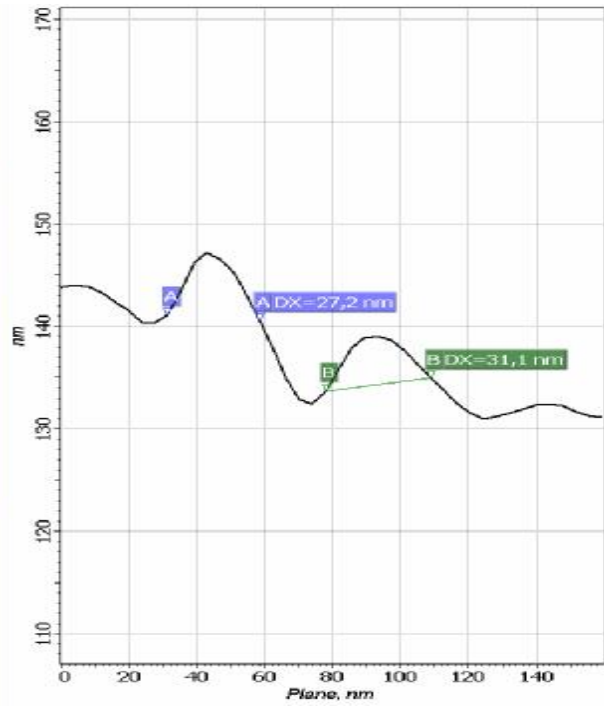
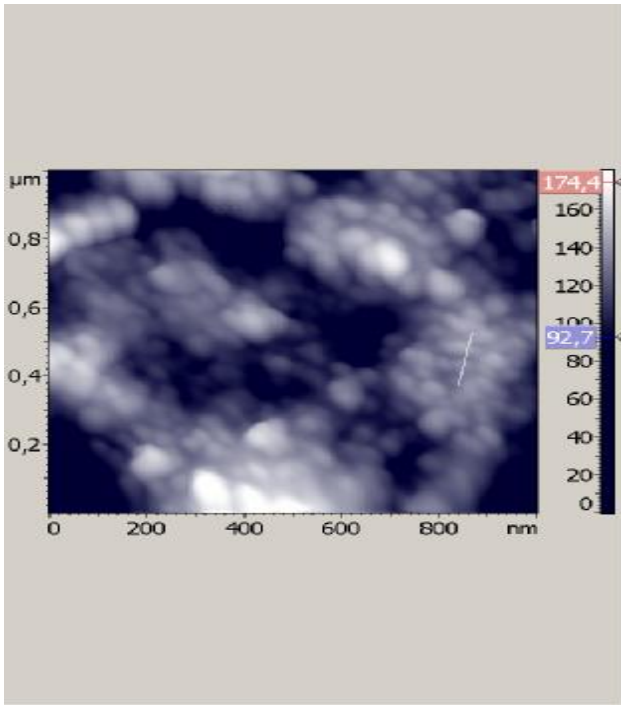


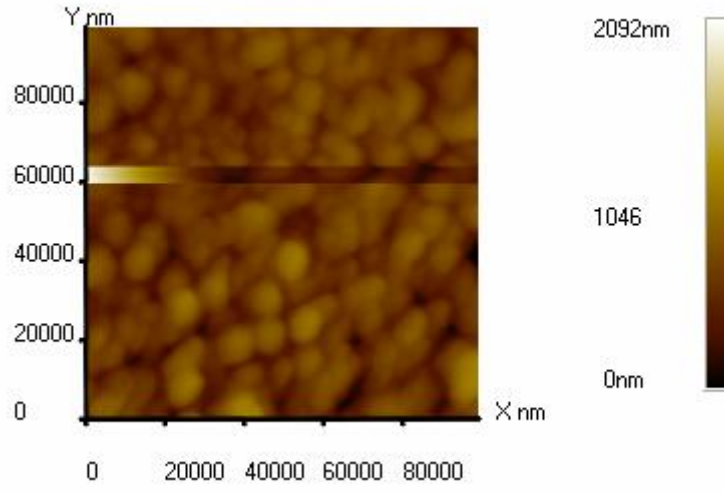
PE+Fe₃O₄ nanokompozisiyasının atom qüvvət mikroskopu ilə səthinin topoqrafiyası və Fe₃O₄ ölçülərinin təyini



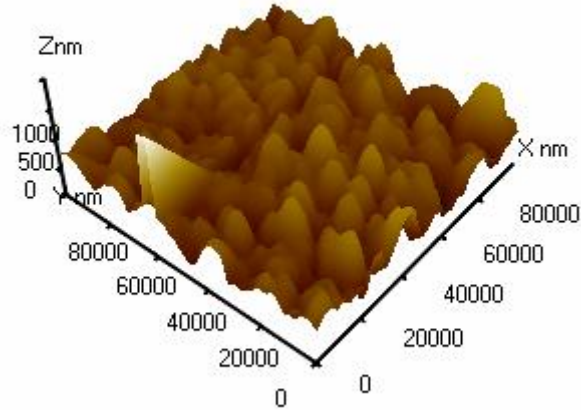
PE+PB+CdS nanokompozisyonunun səthinin topoqrafiyası və CdS - in ölçüləri



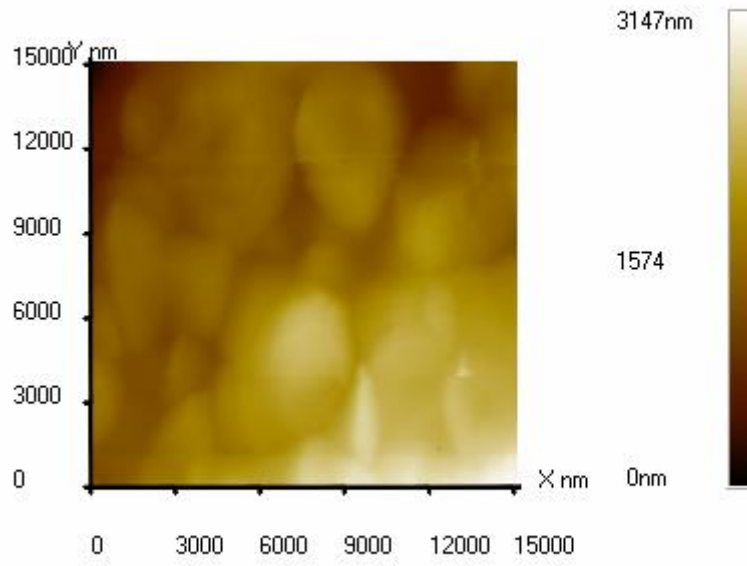
**Atom qüvvət mikroskopu ilə yaşıl yosun «Dunael-solina»
səthinin topoqrafiyası (2D-şəkli)**



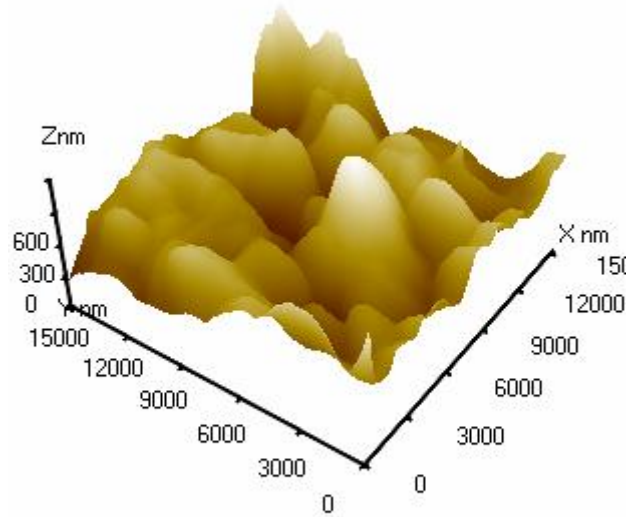
**Atom qüvvət mikroskopu ilə yaşıl yosun «Dunael-solina»
səthinin topoqrafiyası (3D-şəkli)**



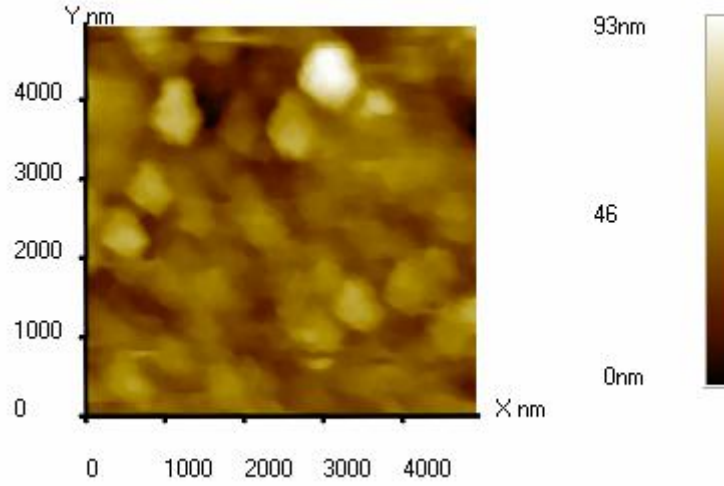
Qanın eritrositlərinin səthinin topoqrafiyası (2D-şəkli)



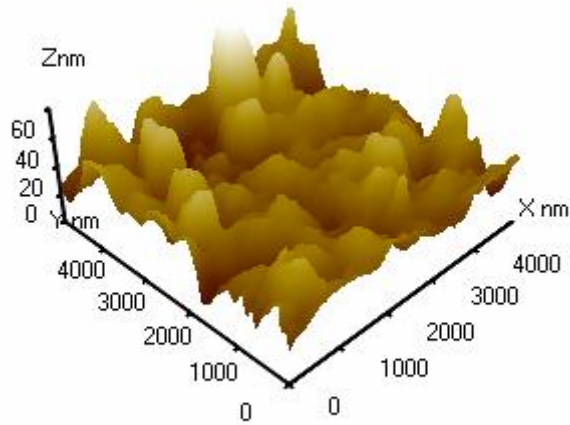
Qanın eritrositlərinin səthinin topoqrafiyası (3D-şəkli)



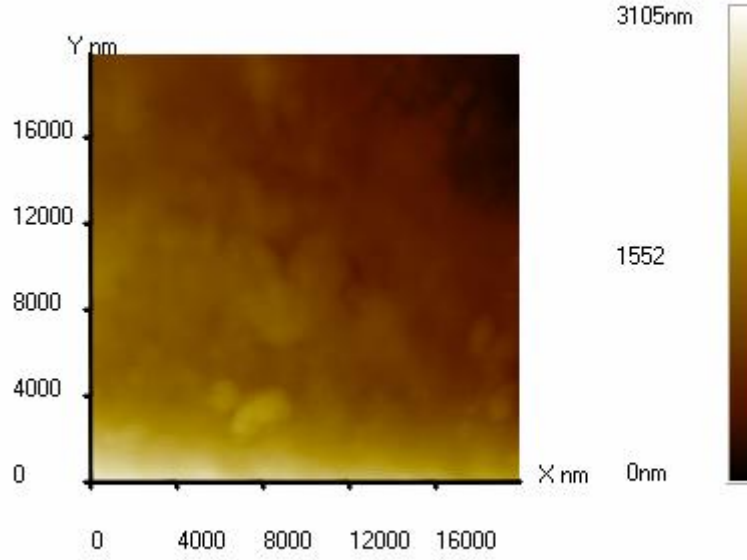
Atom qüvvət mikroskopunun köməyi ilə qrafitin səthinin topoqrafiyasının təyini (2D-şəkli)



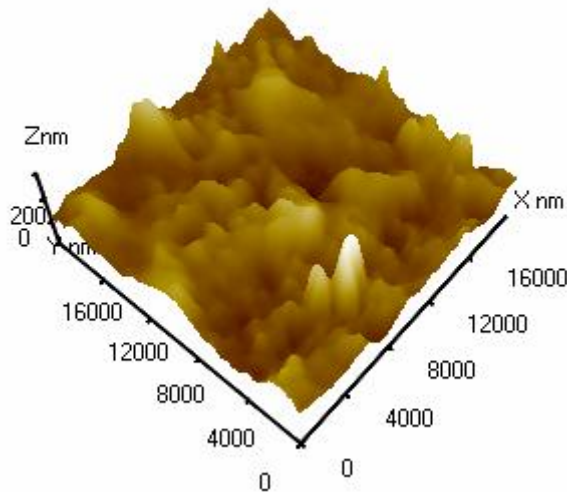
Atom qüvvət mikroskopunun köməyi ilə qrafitin səthinin topoqrafiyasının təyini (3D-şəkli)



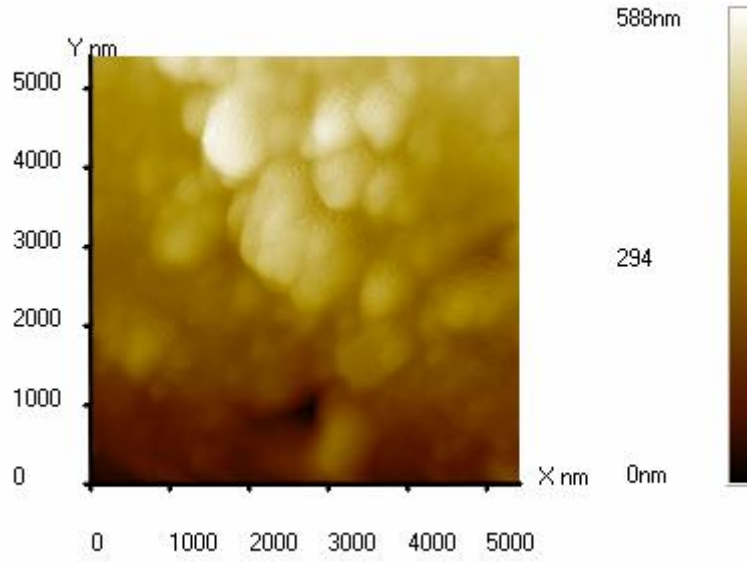
E=0 olduqda PE(polietilen)+PKR-5 M kompozisiasının səthinin topoqrafiyası (2D-şəkli)



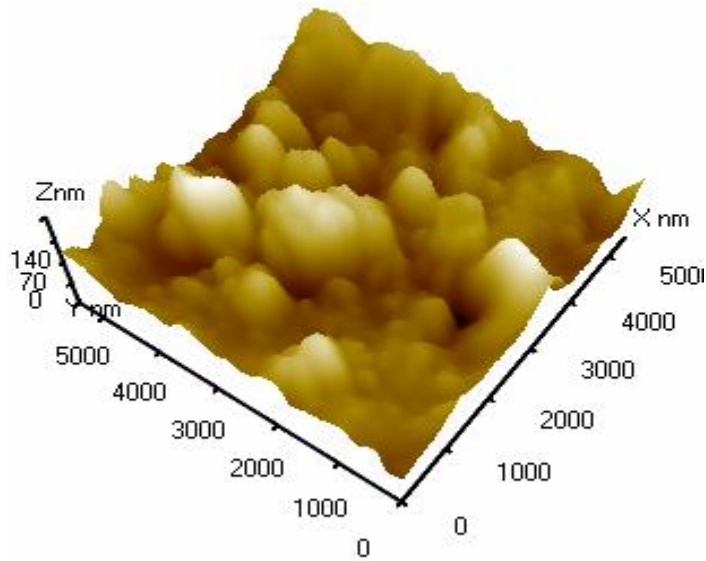
E=0 olduqda PE(polietilen)+PKR-5 M kompozisiasının səthinin topoqrafiyası (3D-şəkli)



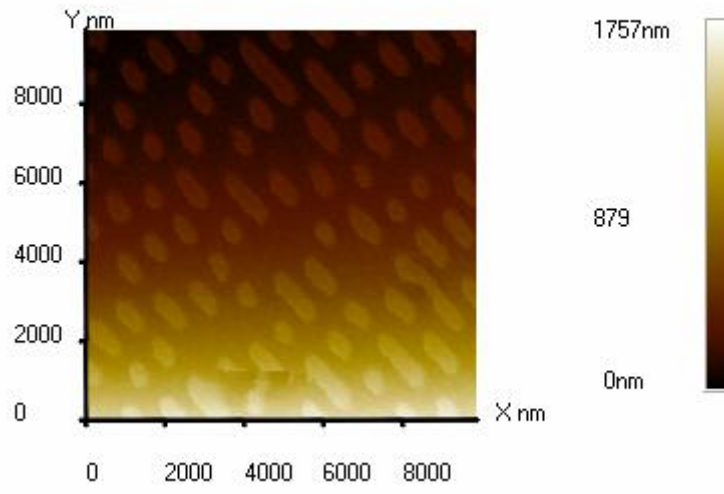
PP (polipropilen)+ 0,5%MnO₂ kompozisijasının səthinin topoqrafiyası (2D-şəkli)



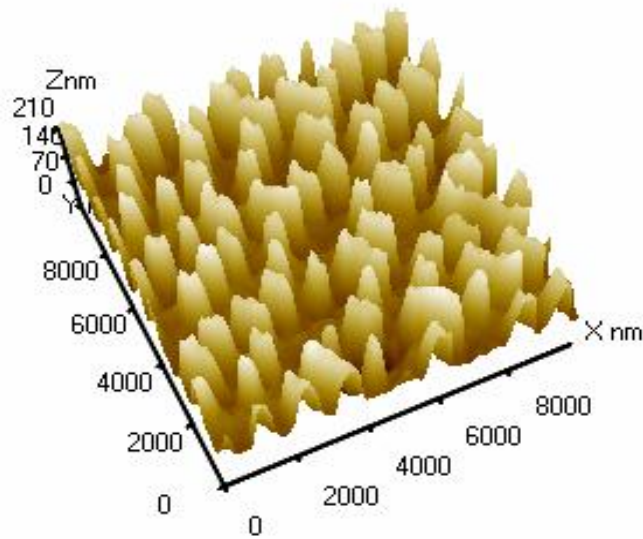
PP (polipropilen)+ 0,5%MnO₂ kompozisijasının səthinin topoqrafiyası (3D-şəkli)



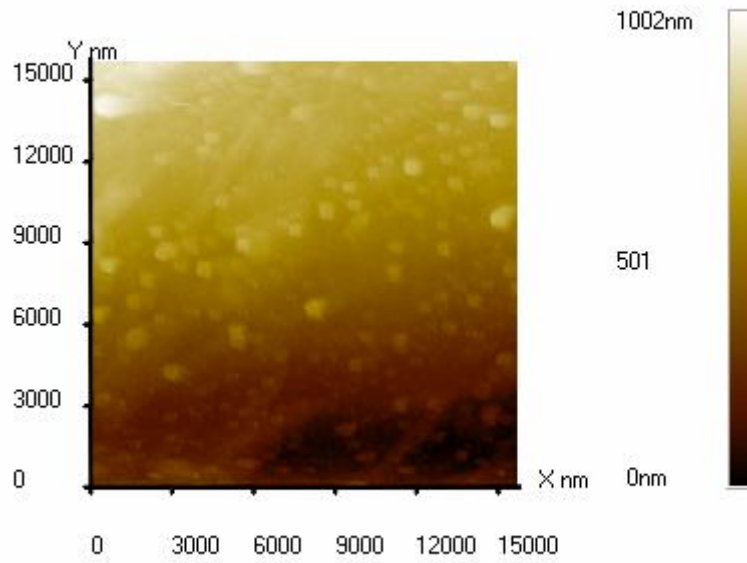
Disk səthinin STM topoqrafiyası (2D-şəkli)



Disk səthinin STM topoqrafiyası (3D-şəkli)



**Atom qüvvət mikroskopu ilə PE+1 % MnO₂
səthinin topoqrafiyası (2D-səkli)**



**Atom qüvvət mikroskopu ilə PE+1 % MnO₂
səthinin topoqrafiyası (3D-səkli)**

